

爆 炸 力 学 进 展

——第四届全国爆炸力学学术会议论文集

(二)

中国力学学会爆炸力学专业委员会



中 国 合 肥

1990.4.21—4.23

Author

徐州电厂一号除尘站拆除爆破工程概况

王文龙 张素莲

摘要

1987年9月24日应用控制爆破法成功地完成了徐州电厂1号除尘站三层钢架混凝土框架结构厂房的拆除工作。为徐州首创了在极为复杂环境条件下安全地实施爆破拆除大型厂房的先例。本文介绍了工程概况及其周围环境，采用的拆爆方案及主要安全保护措施，集尘灰斗水压爆破和框架爆破参数，爆破道路的敷设，以及最终取得的爆破效果。

关键词：拆除爆破，水压爆破。

一、工程概况：

徐州电厂为提高除尘效率，减少环境污染，需拆除1号旧式除尘站，并于原地建立新型除尘站，原1号除尘站厂房为三层钢筋混凝土框架建筑，全高约18M。框架由南北五排，东西四排，共20根立柱和93根纵横梁组成，梁柱结点为焊接结点，占地面积为 $27.5 \times 28 M^2$ 。在框架顶上有四个与进出口烟道相连接的汇集烟道。除东面外，框架内每个跨间有一个，总共有八个矩形截面的角锥形集尘灰斗。灰斗两侧布置有11个，总共有88个旋风除尘器，其上端位于屋面上，下端出口与灰斗上端的侧面相连接。建筑物连同其内所有设施与装置的总重量为1928.63吨。

一号除尘站拆除前的外观照片如图一所示：

二、周围环境：

拟拆除的1号除尘站位于电厂核心部位，周围环境十分复杂（见图二）。南侧毗邻灰浆泵房相隔仅1.8M，中间地下有电缆沟。东侧为主机房，相隔4.3M；框架内紧靠东侧立柱有地下管道沟，其内敷设有从主机房地下水沟引出的西端排水管和两个铸铁水井阀门。西侧3.7M处有一岩坎，地坪升高，近岩坎上安装有吸风机设备。西南方向有一高大烟囱，其基础距框架最短距离约12M。北侧距框架



图一 拆爆前的一号除尘站

1—灰斗

2—汇集烟道

3—旋风除尘器

8.5M处，履地下埋设有西端 $4 \times 4 M$ 方形

截面钢架混凝土薄壁循环水管和一趟圆形循环水钢管，埋深仅1M；马路对面有空压机房，距框架约3.6M，其东面为机炉检修

房，西面为油污。此外，在拆除前，框架内已浇灌出机新建的除尘装置基础。

所有邻近建筑物，地上、下设施包括吸风机设备，地下电缆，排水管，水井阀门和循环水管等，均需予以保护，以维持机组的正常运转，否则造成停电事故将会影响华东电网的供电，在生产和经济上造成巨大损失。



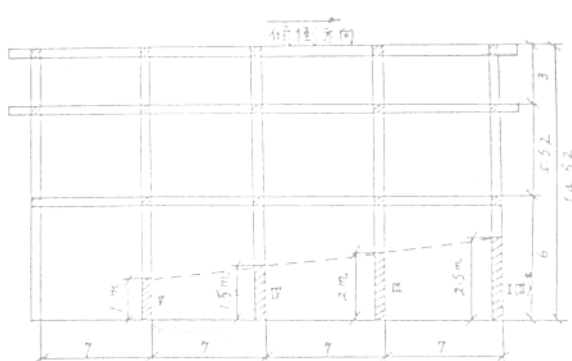
图二 1号除尘站的周围环境

三、拆爆方案：

拆爆前，首先人工拆除所有防爆框架倒置的各项设施，包括底层灰斗下方的金属构件工作台，框架南侧的钢制楼梯与框架顶层汇集烟箱连结的进出口通道。也予先拆除了框架南侧外伸至灰浆泵房上方的钢制楼板和第三层的南侧砖墙，以避免其堕落时损坏灰浆泵房。拆爆工作重点是框架及其内的八斗集尘灰斗。

由于集尘灰斗对框架造成偏心荷载，且距地面较近，不可能随框架倒置靠撞击力自行解体，若不予以拆除势必影响框架的倒置和倒用方向。予先拆除集尘灰斗采用了水压爆破方案，既保证了安全，又加快了施工进度。

根据周围环境，北侧有足够的堆积堆放物的场地，以及甲方提出须重点保护南侧毗邻框架的灰浆泵房的要求，框架爆破采用了朝北定向倾倒方案。在定向倾倒的两种方案折叠倾倒和整体倾倒中，选择了后一方。该方案的优点是，可减少打眼和装药工作量；降低堆放物堆积高度和减小非倾倒方向上的坍散余量；框架失稳后梁、柱节点处产生的弯矩较大，有利于框架解体。为保证框架定向整体倾倒，采取了自北向南递减立柱炸高和先北后南顺序起爆立柱的综合技术措施（图三）。



I - V 为起爆顺序。 * 中间附立柱为Ⅰ段。 ** 西倒立柱为Ⅱ段。

图三 框架定向整体倾倒方案

为防止最后一排南侧立柱产生爆炸“后座力”，折断倾倒时向南伸出破坏灰浆泵房，在该排立柱上未布设药包。

考虑整个框架荷载偏向西侧，有可能造成倾倒方向的偏移，故对第一排北侧立柱采用先起爆中间两根，后爆越侧倒立柱的方法来控制倾倒方向。

根据刚性框架失稳后梁、柱节点处产生弯矩的计算，顶层节点处的弯矩小于节点的抗弯矩，但考虑梁、柱节点实际为焊接节点，抗弯矩小于刚性节点，故在节点处未布设炮孔松筋。因施工单位采用起吊设备的能力较大，在梁上也不

再布设炮化解体。

四、灰斗水压爆破参数

集尘灰斗是矩形截面角锥体的薄壁容器，但目前文献资料中尚未见到弯折面布置水压爆破参数的计算方法。为应用方形等截面容器水压爆破的药量计算公式，按等体积原则引进等效内宽B和等效壁厚。

由几何关系计算出灰斗内体积为：

$$V_1 = \frac{1}{2} (F_1 + f_1) H = \frac{1}{2} (l_1 b_1 + l'_1 b'_1) H = \frac{1}{2} (5.9 \times 5.6 + 0.4 \times 0.4) \times 5.08 = 84.3 \text{ m}^3$$

式中： F_1 —灰斗上口内截面， m^2 ； f_1 —灰斗下口内截面， m^2 ； b_1 ， d_1 —灰斗上口长和宽度， m ；
 l'_1 ， d'_1 —灰斗下口长度和宽度， m ； H —灰斗高度， m 。

因此，等效内宽为：

$$B_1 = \sqrt{\frac{V_1}{H}} = \sqrt{\frac{84.3}{5.08}} = 4.07 \text{ m}$$

计算出灰斗的外体积为：

$$\begin{aligned} V_2 &= \frac{1}{2} (F_2 + f_2) H = \frac{1}{2} ((l_1 + 2\delta)(b_1 + 2\delta) + (l'_1 + 2\delta)(b'_1 + 2\delta)) H \\ &= \frac{1}{2} ((5.9 + 2 \times 0.18)(5.6 + 2 \times 0.18) + (0.4 + 2 \times 0.18)(0.4 + 2 \times 0.18)) \times 5.08 \\ &= 96.2 \text{ m}^3 \end{aligned}$$

式中： δ —灰斗壁厚， m 。

等效外宽为：

$$B_2 = \sqrt{\frac{V_2}{H}} = \sqrt{\frac{96.2}{5.08}} = 4.35 \text{ m}$$

因此，等效壁厚为： $\hat{\delta} = B_2 - B_1 = 4.35 - 4.07 = 0.28 \text{ m}$ 。
[1]

采用TNT炸药，方形等截面薄壁容器水压爆破的药量计算公式为：

$$Q = \frac{K_2 K_b K_a R_1}{8.27 K_f Q C} \frac{1.59}{\delta} \frac{1.59}{R} \frac{1.41}{C} \text{ kg} \quad (1)$$

式中 R_1 —混凝土静抗压强度， 300 MPa ； R —混凝土的静抗压强度， $R_1 = 1716.8 \text{ MPa}$ ；

K_b —结构的破坏程度系数，取 $K_b = 30$ ； K_a —混凝土动强系数， $K_a = 1.4$ ；

K_t —— 韦伯系数, 取 $K_t=0.08$; Ω —— 粘性系数, 取 $\Omega=10.48$;

$\hat{\delta}$ —— 次斗的等效壁厚, $\hat{\delta}=0.23\text{m}$; C —— 混凝土的弹性模量, $C=3500\text{ MPa/m}^2$;

R —— 药包至次斗内壁的等效距离, $R=B_1/2+0.07/2=2.035\text{ m}$;

$$K_2 = \text{钢筋混凝土的药量修正系数}, K_2 = 1 + \frac{F_{aq} F_q (\Sigma S_q)}{F_d R_1 \hat{\delta}} \quad (2)$$

式中 K_{dq} —— 钢筋的劲度系数提高系数, $K_{dq}=1.3$; F_q —— 钢筋屈服强度, $F_q=353160\text{ MPa}$

ΣS_q —— 每米长度内环形钢筋截面的总和, M^2

$$\text{次斗每米长度内有中} 0.012\text{M}^2 \text{环形钢筋} 12 \text{根, 截面和为: } \Sigma S_q = 12 \times 0.012 = 0.144\text{ M}^2$$

利用(2)式求得药量修正系数为:

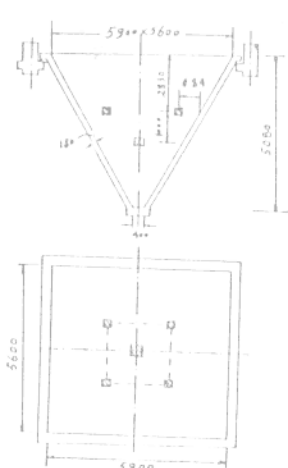
$$K_2 = 1 + \frac{1.3 \times 353160 \times 0.00136}{1716.8 \times 1.4 \times 0.23} = 1.93$$

按(1)式计算出次斗水压爆破所需药量为:

$$Q = \frac{1.93 \times 30 \times 1.4 \times 1716.8}{3.27 \times 0.08 \times 10.48 \times 3500} = 1.59 \times 0.23 \times 2.035 = 5.78\text{ Kg.}$$

实际总用药量为5~6Kg。

为使次斗均匀破碎, 将总药量分为五个药包和两层布设。下层一个药包药量为2Kg, 布设在次斗中心线上, 距次斗口3.83M; 其余四个药包, 药量各为0.75~1Kg, 分别布设在次斗的四角上, 距下层药包1M, 距次斗内壁0.84M。药包布置见图四。



注: 1 药包炸药为粉状TNT用2号岩石炸药作起爆药柱。

2 下层药包重2Kg, 上层药包每个重0.75Kg.

3 爆破前注水, 并充灌密闭。

4 药包采取适当的防水措施。

次斗下口子为钢板拆焊封, 上口有横板, 封盖密型水压爆破。为悬吊药包, 先利用裸露药包在横板上打出孔口, 并通过孔口向次斗内注水。炸药和起爆药包放在两层塑料袋内, 管口用铁丝捆扎严实, 其间填黄油密封。

八个次斗先后爆破了五次, 结果表明总药量在5~6Kg范围内均能获得满意的爆破效果: 次斗从横板上脱落, 结构完全破坏, 混凝土块大部被开钢筋。

图四、次斗药包布置图

(见图五)

五、框架爆破参数



图五 毁坏后落下的构件。

为：

$$h_{\max} = k (B_{\max} + h_{\min}) \quad , \quad m \quad (3)$$

式中： B_{\max} —承重立柱截面的最大边长， $B=0.6 \text{ M}$ ；

K —框架结构坚固系数， $K=1-1.5$ ；

h_{\min} —承重立柱的最小炸高， m 。

承重立柱的最小炸高按形成较支的柱爆高度估算，

即： $h_{\min} - h_0 = (1-1.5) B_{\max} = 0.6 - 0.9 \text{ M}$ ，

代入(3)式求得立柱的最大炸高为： $1.2-2.25 \text{ M}$ 。

实际采用最大炸高 $h_{\max}=2.5 \text{ m}$ ，最小炸高 $h_{\min}=1.0 \text{ m}$ 。

在立柱朝北的短边面上布置单列炮孔，

最小抵抗 $\theta=0.5 B_{\min}=0.5 \times 0.5=0.25 \text{ m}$ 。 $(B_{\min}$ —承重立柱截面的短边)，孔间距 $a=m\theta=1.0 \times 0.25=0.25 \text{ m}$ 。

炮孔条系数，取 $\theta=1.0$ 。自北向南各排立柱的炮孔数目为11、9、7、5个。为避开中间钢筋，炮孔在立柱中心线两侧交错布置，炮孔向上倾斜，倾角 30° ，以增加堵塞长度。

[3]

每孔药量按下列公式确定： $Q=(q_1 A + q_2 V) f$ (4)

式中： A —每炮孔负担的剪切面积，即立柱截面， $A=0.5 \times 0.6=0.3 \text{ m}^2$ ；

V —每炮孔负担的剥落体积， $V=Aa=0.3 \times 0.25=0.075 \text{ m}^3$ ；

q_1 —单位剪切面上的耗药消耗，

$$q_1=\frac{c_1}{\theta}=\frac{70}{0.25}=240 \text{ g/m}^2$$

c_1 —决定于材料类别和剥落要求的常数，取 $c_1=60$ 。

q_2 —单位剥落体积的耗药消耗，对射前混凝土取 $q_2=150 \text{ g/m}^3$ 。

f —与自由面数目有关的系数，对四个自由面取 $f=0.75$ 。

按(4)式算出的每孔药量为： $Q=(240 \times 0.3 + 150 \times 0.075) \times 0.75=62.49$ 。实际每孔用药量为65g。

六、安全防护

在安全防护上主要考虑控制爆破振动和飞石。爆破引起地层质点的垂直振速按下列通用公式计算：

$$v = k \left(\frac{\sqrt{Q_1}}{R} \right)^{\alpha}, \quad (5) \quad (m/s)$$

式中 Q_1 一次同时起爆的药量， kg ； R 爆源至计算点的距离， m ； α 衰减指数，近距取 $\alpha=2$ ； k 与爆破点地层条件有关的系数，对土壤取 $k=200$ 。

按(5)式计算出的质点垂直振速见表一。

表一

保护建筑物	Q_1 (kg)	R (m)	V (cm/s)	爆破点	附注
值班机房	1.43	36	0.20	第Ⅰ排立柱	立柱排由南向北编号
	2.34	43	0.19	第Ⅱ排立柱	
主机房	2.34	13	1.09	第Ⅲ排立柱	
次水泵房	2.34	22.3	0.63	第Ⅳ排立柱	
	1.82	15.8	1.19	第Ⅴ排立柱	
	1.30	8.8	3.00	第Ⅵ排立柱	

按《铁路工程安全规则》规定：建筑物安全的爆破振速临界值 $V \leq 5 \text{ cm/s}$ 。

为减小框架倒塌产生的振动和防止倒塌能破坏埋设的循环水管，在埋设循环水管的地面上堆置黄土条带，以缓冲框架倒塌时产生的冲击作用。另外，为防止框架倒塌时个别构件或其他物体掉落至南侧电气化土堤下埋设电缆，在电沟沟上堆置黄土草袋。

$$\text{最大飞石距离按下式估算：} \quad 1 + 20 n^2, \quad (\text{m}) \quad (6)$$

$$\text{式中 } \Phi \text{ 最小抵抗， } \Phi = 0.25 \text{ m}; \quad n \text{ 爆破作用指数， } n = \sqrt{\frac{Q}{(L - \Phi) + 0.4}} \times 0.6 \quad (7)$$

Q 每孔药量， $Q = 0.065 \text{ kg}$ ； L 爆破时框架的净距离， $L = 1.07 \text{ m}$

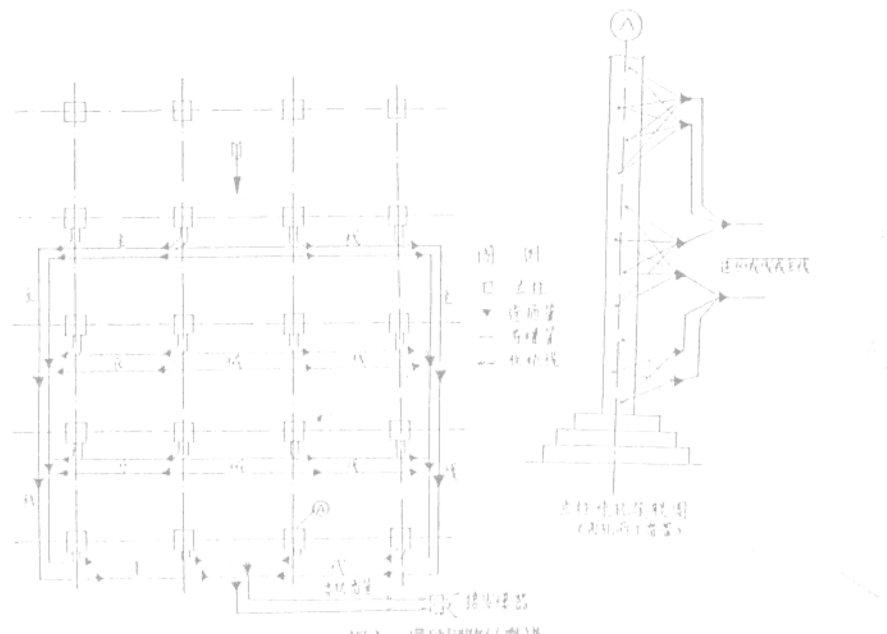
$$\text{由(7)式得：} n = 1.84, \text{ 代入(6)式得：} 1 + 20 \times 1.84^2 \times 0.25 = 16.9 \text{ m.}$$

试验的结果表明，个别碎块飞散距离为 $10 \sim 20 \text{ m}$ 。为防护飞石，在立柱布孔处药包用6号粗丝缠绕三层淋湿的草袋。

七、爆破效果

考虑电厂存在有杂散电流，为安全起见采用非电导爆管孔内延期导爆网路，在框架四面敷设土引爆线，沿第Ⅰ和第Ⅱ排立柱敷设区域线。为确保回路可靠起爆，各孔内设置两个雷管，主起爆线和区域线均构成复式线路，先并联后并联将立柱各孔内一个雷管连成一组，另一雷管再连成另一组，然后分别连接到相隔不同的主起爆线或区域线上。导爆管的厚度每米用五根管，最

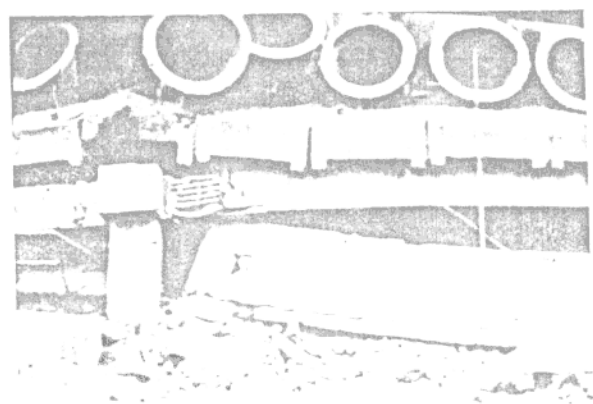
后用电雷管起爆爆破网路（图六）。



图六 爆破网路的敷设

八、爆破效果

药包全部起爆，没有产生瞎炮。框架按预定方向倾倒，在倾倒方向上的塌散余量为7 m，西侧塌散余量为3~7 m。最后一排南侧立柱除东南处一根立柱已避开框架向西北方向倾倒而未折断外，其余立柱均按予先设想将框架倾覆力矩自行折断。由于框架顶层梁、柱节点处和梁上未布设炮孔，构件解体不够充分（图七）。



图七 框架倾倒后的坍塌物

除东侧管道沟内水井开关因防护较差造成漏水外，周围建筑和设施均安全无恙，保证了电厂正常生产和供电。

爆破时实测了地层原点垂直振速，测定结果见表二：

测点位置	实测振速 (cm·s)
压风机房	0.75
灰浆泵房	2.00
主机房	2.50

压风机房和主机房实测振速较大，可能是爆破冲能引起的，而灰浆泵房实测振速较小的原因可能与框架的倾倒方向有关，因背离倾倒方向的振速一般偏低。

ABSTRACT

By use of the directional central blasting method, the dusting station No. 1 of Xin-zhou power station, a building of 3 stories, constructed by reinforced concrete frame structure, had been successfully demolished on September 24, 1987, it had created the first example in demolishing large buildings in safety under special circumstances in Xin-zhou Jiangsu province, China.

In the paper, the engineering situation and its surrounded circumstances, the blasting pattern and the main safe-technical measure used, the blasting parameters of dust filling funnel demolished by water pressure, the blasting parameters of frame structures, the printing network and the final blasting effect are described.

Key words:

demolition blasting and water pressure blasting

参考文献

- 〔1〕王中黔、李伟：水压控制爆破炸药量的理论解，《中国力学学会第二届土岩爆破学术会论文集》（三），1982年11月。
- 〔2〕刘清荣：控制爆破，华中工学院出版社，1986年11月。
- 〔3〕何广新、朱忠策：拆除爆破新技术，中国铁道出版社，1988年7月。

分段微差爆破地震效应叠加机理的探讨

国家建材局合肥水泥研究设计院 薛孔亮 尹光武 蒋福宝 高志龙

摘要

本文以作者在矿山爆破工程中对大山深坑十吨及以下威力爆破过程中地震效应的试验和分析为基础，重新探讨了分段微差爆破过程中地震效应的叠加机理，认为分段微差爆破在爆区外某点所产生的最大地震峰值不仅取决于最大分段药量的大小，而且与各分段药量先后起爆的相对误差同震幅峰值成正比，与各分段药量的总重量成线性关系，与各分段药量的总重量成反比，与各分段药量的总重量的平方成反比，与各分段药量的总重量的立方成反比。本文还用薛氏介波中子学原理方法对分段微差爆破地震波包络线的基本形态，并通过几种相位和解剖清点的方法对分段微差爆破地震波包络线进行叠加分析。最后以一个具体实例，阐明了用本文介绍的方法对分段微差爆破地震效应进行叠加分析计算的科学性和工程适用性。

一、概述

从六十年代初期开始，我国冶金、建机、化工、煤炭等部门的许多露天矿山相继推广应用了分段微差爆破技术。从而使矿山生产爆破的效果得到了改善，同时，爆破地震效应也明显降低。近年来，分段微差爆破技术的理论和应用研究在进一步地发展，国内外许多学者也在致力于分段微差爆破降震机理的研究，但迄今为止，尚未有一个完整的理论被各科学界所公认。

工程爆破多年来在进行分段微差爆破工程设计时和降震效果的分析计算中，常以兰格福尔（Langefors）提出的最佳分段微差间隔时间 $\Delta t_{\text{tw}} = T/2$ 作为降震效果最佳的理论依据（T为地震波的振动周期），其结果往往与工程爆破实际有很大差异。

还有一种理论认为，分段微差爆破产生的地震效应主要与最大一段起爆药量有关，而与微差间隔时间和其它分段药量无关，我国现行的爆破安全规程就是这样制定的。

多年来，我们曾对各种类型的石灰石矿山爆破进行了地震效应的观测。从大量的实测结果分析中认识到，分段微差爆破地震效应的峰值是由各分段药量在不同时刻起爆后产生的地震波相互叠加的结果。其最大震动峰值并不单独取决于最大分段药量的多少，地震效果也不完全遵循 $\Delta t_{\text{tw}} = T/2$ 的最佳微差间隔时间的理论，而是与各分段间微差间隔的时间、各分段药量爆炸后产生地震效应的大小和参与正向叠加的机率密切相关。

二、爆炸地震波的基本特征

矿山爆破过程中的爆炸地震波通常是指在离开爆区一定距离外，岩土介质的非弹性过程

终止而出现弹性效应后，地表质点产生的位移现象，这种位移现象常被记录下来，并通过分析，判断爆破对该点产生的地震效应程度。

随着爆破规模和爆破方式的不同，爆破所产生的地震效应差异甚大，在矿山爆破地震效应的观测中，主要记录爆炸地震速度值，并以此作为辨别质点地震效应大小的依据，图1为一组实测典型爆炸地震速度波形图。

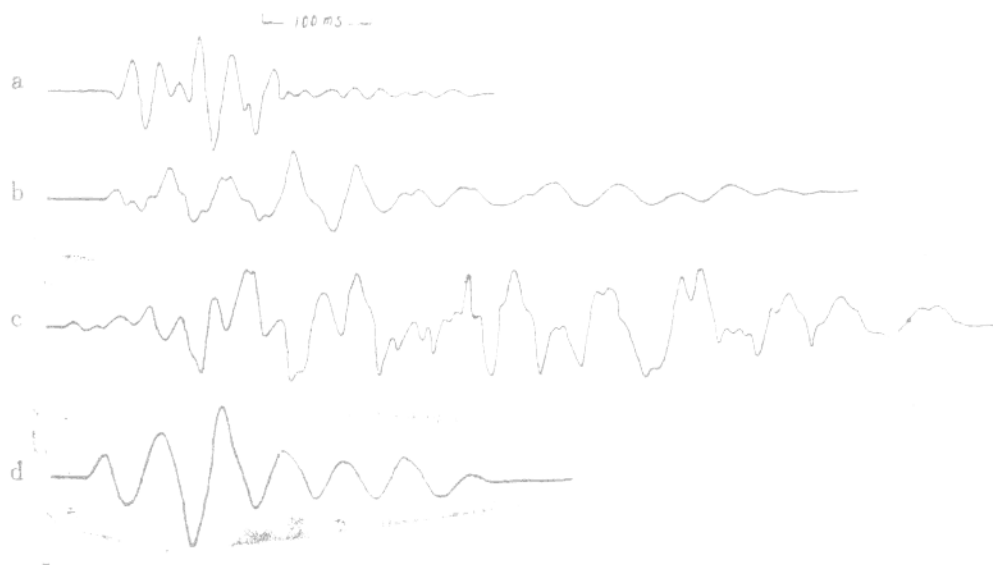


图1. 典型爆炸地震速度波形图

a. 浅眼小爆破 b. 中深孔多排微差爆破
c. 岩室大爆破 d. 齐发爆破

由图1可以看出，爆炸地震波的传播是极为复杂的。质点震动的规律受到诸多因素影响，质点震动速度大小的随机性相当突出。因此，受震质点在一定时刻是否能达到某一震动值是很难准确估算的。

三、爆炸地震波的传播规律

矿山爆破工程中，一次起爆的总药量大多都在数十吨级以下。爆破后，在爆区外一定区域内，地面质点震动从开始到基本稳定所持续的时间一般在0.2~1.5S。这个震动全过程包括了初震相、主震相和余震相三个明显的作用阶段。如图2所示。

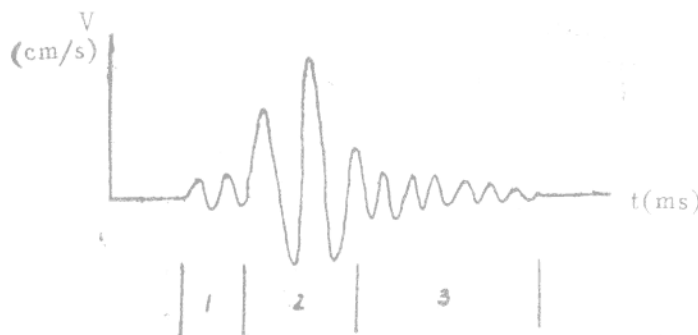


图2. 爆炸震动过程的三个作用阶段

1. 初震相 2. 主震相 3. 余震相

初至波(初震相)段主要为体波的前锋段,震幅小,频率高,破坏作用很小。随后便是震幅较大的主震相段,该段为造成有害效应的主要震动阶段。最后是余震相段,余震相段虽然持续时间较长,频率也较低,但由于震幅已衰减,因此,产生的有害效应也并不大。由此可见,地震波的主震相段是研究分析爆破震动效应的主要区段。

1. 主震相段的确定

主震相段通常指从质点达到最大爆破震动速度值 V_{\max} 的有效值 $V_{\max}/\sqrt{2}$ 开始到最终降至 $V_{\max}/\sqrt{2}$ 值时为止的那段震动过程。主震相段所经历的时间为主震相持续时间。在集中装药齐发爆破中,地震速度波形较简单,初至波,主震相,余震相三个阶段比较明显。而分散装药或分段微差间隔爆破,则地震波形图较为复杂,主震相段很难直观看出,最大震动峰值常呈间断方式出现,持续时间也较长,对于这种复杂地震波形图,主震相段的确定则须进行具体分析。

2. 爆炸地震波特征区段的时值分析

爆炸地震波是一个由多种波组合成的复杂波,其表面波最为突出。质点振动幅度主要受表面波的影响,从图2所示的波形图上也可大致看出。在初震相段主要是体波的作用,主震相段则是表面波和体波合成作用的结果,余震相段地震波持续时间较长,体波逐渐衰退,最后主要是表面波的余波。因此,根据岩体中爆破应力波的传播理论,可分析地震波在其主要传播区域内的基本传播规律。

体波(纵波 V_p)和表面波(瑞利波 V_R)相互间的关系如下:

$$\kappa = \frac{V_R}{V_s} = \frac{V_R}{aV_p}, \dots \dots \dots \dots \quad (1)$$

式中 κ —— V_R 与 V_s 的波速比

$$\kappa \approx \frac{0.67 + 1.12v}{1 + v} \dots \dots \dots \dots \quad (2)$$

波速和泊松比之间的关系

表1

v	0.25	0.33	0.4	0.5
V_p/V_R	1.883	2.130	2.657	

对于石灰岩地区, $V_s = 3000 \sim 6000 \text{ m/s}$, $v = 0.25$

由表1可作出爆区外距离为R处的地震波纵波 V_p 和瑞利波 V_R 到达时间t的特征曲线,如图3

由图3可见,在距爆区400米之外, V_p 与 V_R 到达的时间差 Δt 一般均在0.05~0.1s以上。随着爆区与测点间距离R的变化, Δt 的变化如下:

$$\Delta t = t_R - t_p = \frac{R}{V_R} - \frac{R}{V_p} = R \left(\frac{0.883}{V_p} \right) \dots \dots \dots \dots \quad (3)$$

式中 t_R 、 t_p 分别为瑞利波、纵波到达距爆区R处的时间(s),

由(3)式可作 Δt —R图

图4 At-R时差区域变化趋势

$$V_{P_1} = 6000 \text{ m/s}, \quad V_{P_2} = 3000 \text{ m/s},$$

$$V_{R1} = 3186 \text{ m/s}, \quad V_{R2} = 1593 \text{ m/s}$$

图3 R-t波速时差分析图

石灰岩地区岩体的纵波速度 V_p 一般都在 $3000\sim6000\text{m/s}$ 范围内。不同距离, 不同介质条件, 平均纵波速度差异很大。图 4 表明, Δt 的变化区域随着 R 的增大而扩展, 由此也可看出, 要准确地计算距爆区 R 处各种波速峰值到达时刻很困难, 甚至是不可能的。 V_p 和 V_s 受各种构造条件的影响, 其平均速度在不断变化, 因而 Δt 的波动范围也较大。爆破震动的观测区域一般距爆区 $400\sim1000\text{m}$ 左右, Δt 的变化区也在 $0.05\sim0.2\text{s}$ 上下。这一分析结论与地震波实测结果是一致的。 Δt 对应的便是初至波段的持续时间。主震相段持续时间一般约占所观测到的地震波传播全过程的 $1/4\sim1/8$, 即 $0.1\sim0.3\text{s}$ 左右。

四、堵流速度峰值包络线及其解析式

地震速度峰值的衰变规律和速度峰值包络线

爆炸地震波的产生和衰变与爆源、距离、爆破方式等诸多因素有关。在一定的距离外，我们把同时起爆的药量均视为点爆源。矿山的齐发爆破也可看作点爆源爆破。图1-d是一个齐发爆破的震动速度实测波形图。从波形的变化来看，初至波到达0.05~0.1s后，瑞利波即到达，其速度值在初至波到达的0.1~0.2s时间左右就达到最大值。尔后速度逐渐衰减，衰减的幅度较上升时的幅度小。震动频率的衰减在整个质点震动的过程中并不明显，但总的趋势是初震相段频率较高，主震相段略低，余震相段最低。

根据齐发爆破地震速度实测波形图的衰变规律分析, 可作出齐发爆破地震速度峰值包络线, 如图 5。

2. 施发爆破地震速度峰值包络线的近似解析分析式

分析齐发爆破地震速度峰值包络线的基本形态和峰值变化规律，其解析表达式可近似表示如下：

$$V_1 = G + V_{\text{noise}} \dots \quad (4)$$

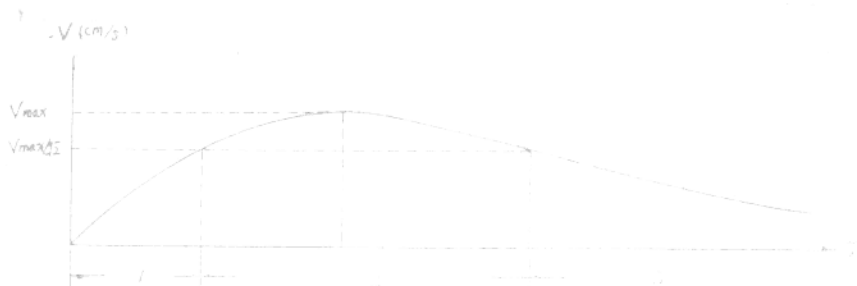


图 5 齐发爆破地震速度峰值包络线

1、初震相 2、主震相 3、余震相

V —质点振动任意时刻的速度峰值 (cm/s) V_{\max} —质点振动最大速度峰值 (cm/s)

G —质点振动任意时刻的相对速度比 t —质点振动任意时刻 ($\times 100$ ms)

A、B—爆破规模系数。见表 2

A、B系数表

表 2

药量(kg)	>10000		1000>>10000		<1000	
	A	B	A	B	A	B
取 值	2.65	1.2	4.73	1.6	7.34	2.0

五、分段微差爆破地震速度叠加效应分析

1、速度峰值包络线几何作图叠加分析法。

根据齐发爆破地震速度峰值包络线的基本形态特征，对于分段微差爆破时各分段地震效应的相互叠加和最大震动速度峰值的估算，均可通过作图法确定。

如某矿山一次 4 段微差爆破，各分段药量为 Q_1 、 Q_2 、 Q_3 、 Q_4 ，相邻段微差间隔时间分别为 Δt_1 、 Δt_2 、 Δt_3 ，距爆源 R (m) 处有一建筑物，其允许震速 V_0 。问能否破坏？

1) 利用齐发爆破地震速度最大峰值的经验计算式：

$$V = K \left(\frac{Q^1 / \%}{R} \right)^{\alpha}, \text{ 计算各分段的地震效应最大值 } V_{1 \max}, V_{2 \max}, V_{3 \max}, V_{4 \max}.$$

2) 特征时刻可取 0、75^{ms}、125^{ms}、175^{ms}、225^{ms}、275^{ms}、350^{ms}，作为各分段爆破地震速度峰值包络线的特征点。

3) 按各分段延迟的时间，将各分段速度峰值包络线分别绘制在 $V-t$ 直角坐标系内。

4) 绘制叠加合成的速度峰值包络线。图 6

2、速度峰值包络线解析叠加法

如果起爆 n 段药量，各分段药量单独爆炸产生的地震效应最大速度值为 $V_{i \max}$ ，第 i 段起爆时刻与第 1 段起爆时刻相隔时间为 Δt_i ($\times 100$ ms)，则 t 时刻的叠加震速峰值 $V(t)$ 计算公式如下：

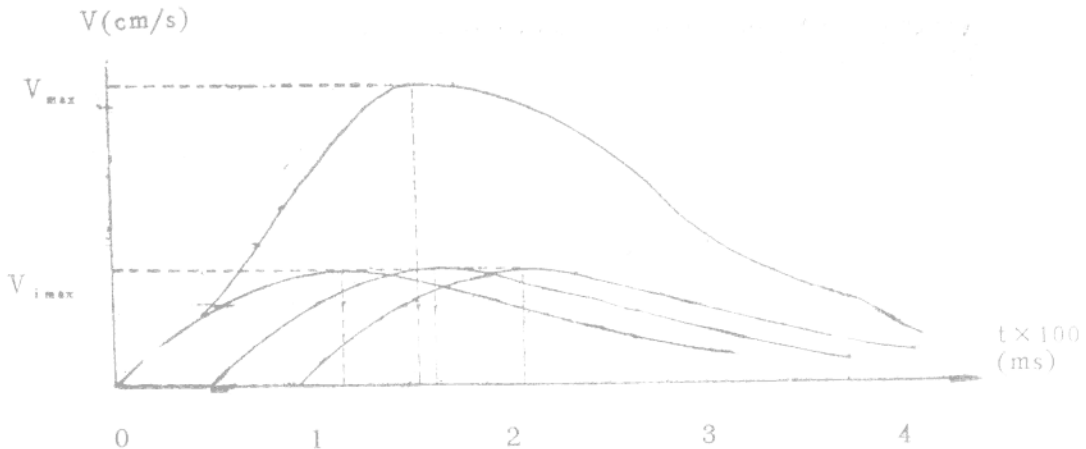


图 6 速度峰值包络线叠加合成图

$$V(t) = \sum_{i=1}^n A(t - \Delta t_i)^2 \cdot e^{-B(t - \Delta t_i)^2} + V_{imax} \dots \dots \dots (6)$$

当 $V'(t) = 0$ 时

$$\text{即 } \sum_{i=1}^n A \cdot (t - \Delta t_i)(2 - B(t - \Delta t_i))e^{-B(t - \Delta t_i)^2} + V_{imax} = 0 \dots \dots \dots (7)$$

则 $V(t) = V_{max}$

V_{max} —— 叠加合成后最大地震速度峰值 (cm/s)

三、分段地震效应正向叠加的概率分析。

爆破地震动是一种随机震动现象，其频率和振幅都受到多因素的影响。波的传播过程也极为复杂，甚至在相同条件下爆破，其振动波形差异都很大。因此，我们无法把各分段爆破产生的地震速度波形完全视为几何相似来进行叠加分析。但对于任何地震速度波形的衰变过程，仍都呈现出由波峰到波谷这样一种周期性变化的规律。所以，在两组地震波相互叠加过程中必然存在着正向叠加增强和逆向抵消减弱的两种波的合成现象。虽然地震波在传播过程中频率也在不断地衰变，但对于同一周期内的波峰和波谷仍可视为时值相等。这样，由波形叠加分析可以得到两组地震波相互叠加时，其正向叠加增强的概率 p_2 为 50%，三组地震波合成正向叠加增强的概率 p_3 为 (50%)²，由此可以得出 n 段微差爆破地震效应正向叠加合成的概率为： $P_n = 0.5^{n-1}$ (8)

式表明， n 段数越多， n 段峰值全面正向叠加的概率越小。

4、多段微差爆破地震效应叠加时主要合成段数的确定。

由分段爆破地震效应叠加的概率分析可以认识到，在分段数 n 较少的情况下，各分段效应正向叠加的机率较大，而当段数增至 5 段时，其概率值已接近 6%。以后各段效应参与叠加的概率很小，可以不再考虑。因此，我们在进行多微段差爆破时，以考虑 5 段较大地震效应的叠加合成为宜。即在最大地震速度峰值叠加处取 5 段较大地震效应进行叠加合成，并将其合成值作为判断和估算可能产生的最大震动速度值。分段微差爆破时质点最大震速峰值和产生的概率见表 3。

质点最大震速峰值和产生的概率对照表

表3

段数n	1	2	3	4	5
$V_{i\max}$	$V_{1\max}$	$V_1(t) + V_2(t)$	$\frac{V_1(t) + V_2(t)}{+ V_3(t)}$	$\frac{V_1(t) + V_2(t)}{+ V_3(t) + V_4(t)}$	$\frac{V_1(t) + V_2(t)}{+ V_3(t) + V_4(t) + V_5(t)}$
P_n	1	0.5	0.25	0.125	0.0625

$V_i(t)$ —均为最大叠加合成质点产生时刻各分段所对应的速度峰值

六 分段微差爆破地震速度叠加效应分析实例

一九八七年十二月河北某石灰石矿山一次峒室分段微差爆破，总药量44吨，共分九段起爆。

1、原始参数表

表4

段别	1	2	3	4	5	6	7	8	10
分段药量 $Q_i(\text{kg})$	4161	5504	5579	4136	6888	4218	2560	6629	3798
距离 $R_i(\text{m})$	713	693	703	693	643	683	593	633	583
$V_{i\max}$ (cm/s)	0.183	0.241	0.236	0.198	0.327	0.209	0.197	0.329	0.266
Δt_i (ms)	0	20	39	44	64	124	129	199	309
t_i (ms)	20	19	5	20	60	5	79	110	

$$V_{i\max} = 422 \left(\frac{Q_i^{1/3}}{R_i} \right)^{2.035} \dots\dots\dots (9)$$

(9)式为该地质剖面齐发爆破地震速度实测回归分析经验计算式。

2、几何叠加分析

(1)计算各分段药量速度峰值包络线特征点的速度值由(4)(5)式得：

$$V_i = G V_{i\max} = A t^2 \cdot e^{-Bt} \cdot V_{i\max}$$

取 $A = 4.73$ $B = 1.6$

各特点对应的时刻均为： 0 、 75ms 、 125ms 、 175ms 、 225ms 、 350ms

计结果见表 5

特征点速度峰值表

表 5

$t(\times 100 \text{ ms})$	0	0.75	1.25	1.75	2.25	2.75	3.50
G	0	0.80	1.00	0.88	0.65	0.44	0.21
	1	0	0.150	0.188	0.165	0.122	0.083
	2	0	0.193	0.241	0.212	0.157	0.106
	3	0	0.189	0.236	0.208	0.153	0.104
	4	0	0.158	0.198	0.174	0.129	0.087
	5	0	0.262	0.327	0.288	0.213	0.144
	6	0	0.166	0.207	0.182	0.135	0.091
	7	0	0.158	0.197	0.173	0.128	0.087
	8	0	0.263	0.329	0.290	0.214	0.145
	10	0	0.213	0.266	0.234	0.173	0.117

(2)、绘制各分段震动速度峰值包络线及合成曲线

将各分段药量爆炸后在不同时刻产生的震速峰值包络线绘制在V—t坐标系中，并加以合成，得出该次爆破在测点处的合成震速峰值曲线和估算可能产生的最大速度峰值曲线图，如图(7)